

СООБЩЕНИЯ  
ОБЪЕДИНЕННОГО  
ИНСТИТУТА  
ЯДЕРНЫХ  
ИССЛЕДОВАНИЙ  
ДУБНА

3738/2-80

11/8-80

P6-80-346

И.Адам, З.Гонс, М.Гонусек, В.Г.Калинников,  
В.В.Кузнецов, Т.М.Муминов, Ф.Пражак,  
Р.Р.Усманов

ИССЛЕДОВАНИЕ РАСПАДА  $^{163}\text{Lu}$   
( $T_{1/2} = 4,1$  мин)

1980

## 1. ВВЕДЕНИЕ

Изотоп  $^{163}\text{Lu}$  с периодом полураспада  $T_{1/2} = 4,1/2/$  мин впервые был обнаружен в продуктах ядерных реакций расщепления вольфрама и тантала протонами с энергией 1 ГэВ <sup>/1/</sup>. Авторы исследовали спектры  $\gamma$ -излучения  $^{163}\text{Lu}$  и отнесли к его распаду 37 гамма-переходов. Исходя из систематики основных состояний изотопов иттербия и характера бета-распада основному состоянию  $^{163}\text{Yb}$  авторами работы <sup>/2/</sup> приписаны квантовые характеристики  $3/2^- / 521/$ . Возбужденные состояния  $^{163}\text{Yb}$  исследовались Рихтером и др. <sup>/3/</sup> в реакциях с тяжелыми ионами  $^{152}\text{Sm}(^{18}\text{O}, 7\text{п.у.е.})^{163}\text{Yb}$  и  $^{154}\text{Sm}(^{18}\text{O}, 7\text{п.у.е.})^{163}\text{Yb}$  методами  $e^-e^-$ - и  $e^- \gamma$ -совпадений. Авторами работы <sup>/3/</sup> обнаружены уровни ротационной полосы основного состояния  $3/2^- / 521/$  вплоть до  $J^\pi = 29/2^-$ , полосы  $5/2^- / 523/$  вплоть до  $J^\pi = 45/2^-$  и состояния сильносмешанной полосы положительной четности с головным уровнем  $9/2^+$ . Энергия уровня  $9/2^+$  ими не была установлена.

Нами исследованы спектры  $\gamma$ -лучей, электронов внутренней конверсии  $/ЗВК/$ ,  $\gamma\gamma$ - и  $e\gamma$ -совпадений, измерено время жизни уровня  $^{163}\text{Yb}$  с энергией 53,9 кэВ.

## 2. ЭКСПЕРИМЕНТАЛЬНЫЕ РЕЗУЛЬТАТЫ

### 2.1. Приготовление радиоактивных источников

Радиоактивные источники  $^{163}\text{Lu}$  /  $T_{1/2} = 4,1$  мин / получались методом непосредственного разделения продуктов ядерных реакций расщепления тантала протонами с энергией 660 МэВ <sup>/4/</sup>. Танталовая фольга толщиной  $50 \pm 100$  мкм и весом  $\sim 0,5$  г облучалась на выведенном пучке протонов синхроциклотрона ОИЯИ /  $J_p \sim 0,1$  мкА / в течение  $5 \pm 10$  мин. После облучения мишень транспортировалась при помощи пневмопочты к электромагнитному масс-сепаратору <sup>/5/</sup> и загружалась в ионный источник масс-сепаратора <sup>/6/</sup>. При нагреве трубчатого ионного источника происходила поверхностная ионизация продуктов ядерных реакций, и шло разделение ионов редкоземельных элементов по массам в сепараторе.

Радиоактивные ионы изобары  $A=163$  внедрялись в танталовые фольги толщиной 5 мкм на коллекторе масс-сепаратора. Для обогащения радиоактивных источников изотопом  $^{163}\text{Lu}$  использовал-

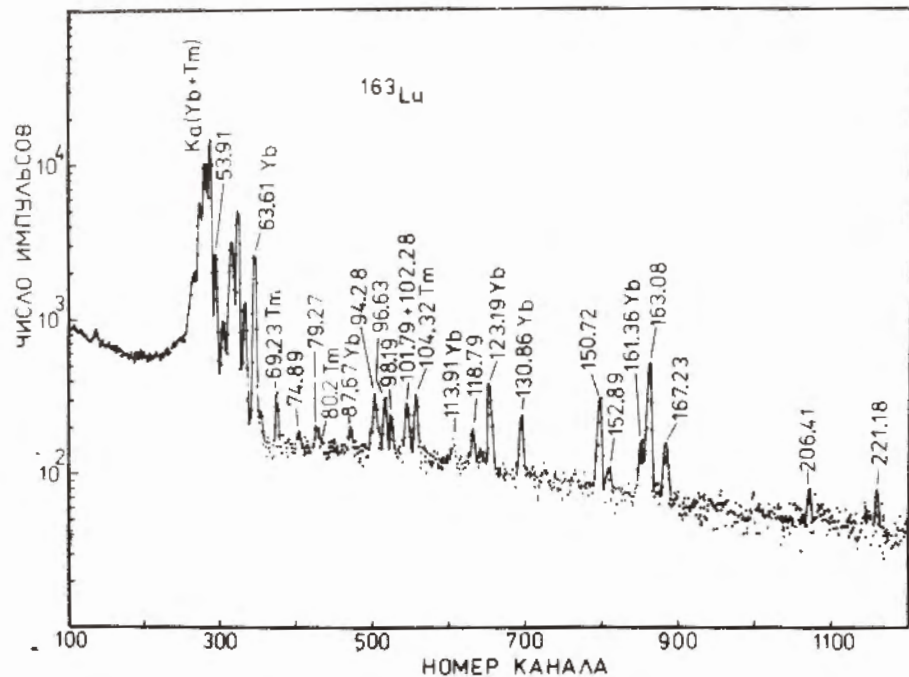


Рис.1. Спектр  $\gamma$ -лучей  $^{163}\text{Lu}$ , измеренный при помощи спектрометра с  $\text{Ge}(\text{Li})$ -детектором,  $V = 0,5 \text{ см}^3$ .

ся метод "горячего коллектора", основанный на термической десорбции редкоземельных элементов <sup>17/</sup>, имплантируемых в нагретый до  $1400^\circ\text{C}$  коллектор. Измерения спектров  $\gamma$ -лучей и  $\gamma\gamma$ -совпадений начинались через 5 минут после окончания облучения мишеней, а спектров ЭВК и  $\gamma\gamma$ -совпадений - спустя 10 мин.

## 2.2. Измерения спектров $\gamma$ -лучей и ЭВК

Спектры  $\gamma$ -излучения  $^{163}\text{Lu}$  исследовались при помощи спектрометров с  $\text{Ge}(\text{Li})$ -детекторами с чувствительным объемом  $0,5$  и  $41 \text{ см}^3$  и разрешающей способностью  $0,8 \text{ кэВ}$  при  $E_\gamma = 122 \text{ кэВ}$   $^{57}\text{Co}$  и  $2,9 \text{ кэВ}$  при  $E_\gamma = 1332 \text{ кэВ}$   $^{60}\text{Co}$  соответственно. Накопление спектров производилось в памяти многоканального амплитудного анализатора АИ-4096, находящегося на линии с ЭВМ НР-2116С измерительного центра Лаборатории ядерных проблем ОИЯИ. Полученные спектры обрабатывались на ЭВМ по программе <sup>18/</sup>, в которой используется подгонка гауссовой функции

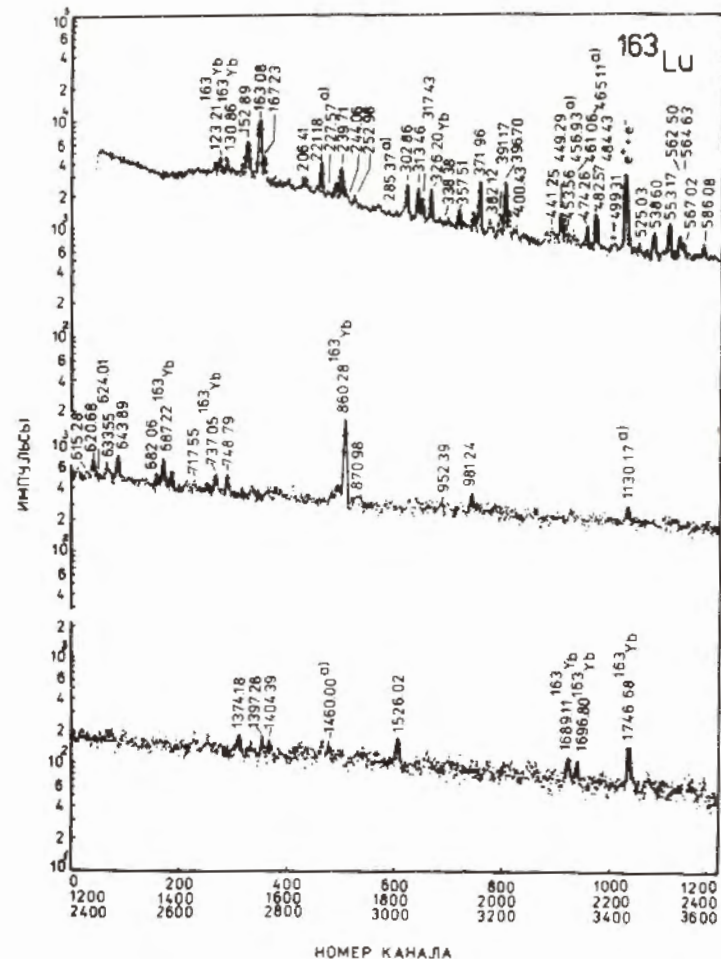


Рис.2. Спектр  $\gamma$ -лучей  $^{163}\text{Lu}$ , измеренный при помощи спектрометра с  $\text{Ge}(\text{Li})$ -детектором,  $V = 41 \text{ см}^3$ .

к экспериментальным точкам по методу наименьших квадратов. Энергия  $\gamma$ -переходов определялась при одновременном измерении спектров  $\gamma$ -лучей  $^{163}\text{Lu}$  и калибровочных источников  $^{138}\text{Ba}$  и  $^{152}\text{Eu}$ . Кривые эффективности получены при регистрации  $\gamma$ -излучения детекторами с точностью не хуже  $8\%$ . В спектрах  $\gamma$ -излучения обнаружено и отнесено к распаду  $^{163}\text{Lu}$   $69 \gamma$ -переходов. Помимо этого в спектрах наблюдались  $\gamma$ -лучи дочерних изотопов  $^{163}\text{Yb} / T_{1/2} = 11,4 \text{ мин} / ^{12/}$ ,  $^{163}\text{Tm} / T_{1/2} = 104 \text{ мин} / ^{19/}$  и соседних изобар, присутствующих в источниках

Таблица 1

Значения энергии и относительных интенсивностей  $\gamma$ -лучей при распаде  $^{183}\text{Lu}$

$E_\gamma(\Delta E_\gamma)$	$I_\gamma(\Delta I_\gamma)$	$I_\gamma(\Delta I_\gamma)/I$	$E_\gamma(\Delta E_\gamma)$	$I_\gamma(\Delta I_\gamma)$	$I_\gamma(\Delta I_\gamma)/I$
53,9I(3)	92(I2)	88(8)	449,29(5)	I7(I)	30(5)
58,18(4)	5I(7)	-	453,56(6)	IO,0(8)	I7(3)
70,99(9) <sup>a)</sup>	I,6(5)	-	456,93(8) <sup>a)</sup>	6(I)	II(3)
74,89(6) <sup>a)</sup>	3,0(7)	-	46I,06(7)	8,0(7)	I6(3)
79,27(9) <sup>a)</sup>	4,6(9)	5,4(I0)	465,II(II) <sup>a)</sup>	4,0(9)	-
93,42(5) <sup>a)</sup>	7(I)	-	474,26(8)	IO(I)	-
94,28(3)	I5(2)	I2,0(20)	482,57(I8)	7(I)	-
96,63(3)	I3(2)	9,6(I8)	484,43(8)	I7(2)	32(6)
98,19(6)	7(I)	5,4(I0)	499,3I(6)	I4(I)	24(5)
IOI,79(I2) <sup>a)</sup>	7(2)	-	525,03(I3)	4,2(9)	-
IO2,28(9) <sup>a)</sup>	II(3)	7,4(I5)	538,60(I4)	I3(2)	I6(3)
II8,79(4) <sup>a)</sup>	II(2)	-	553,17(9)	2I(2)	32(5)
I50,72(4)	35(3)	45,0(50)	562,50(9)	IO(I)	I6(3)
I52,89(I6)	6(I)	-	564,63(I8)	5,0(7)	I6(3)
I63,08(3)	IO0(7)	IO0,0(IO0)	567,02(36)	6,0(6)	II(2)
I67,23(5)	I9(2)	22,0(30)	586,08(II)	6,0(6)	-
206,4I(I3)	6(I)	8,2(20)	615,28(27)	2,2(6)	-
22I,I8(3)	22(2)	I8,0(40)	620,68(II)	9,0(9)	-
227,57(20) <sup>a)</sup>	4(I)	-	624,0I(20)	3,I(7)	-
239,7I(8)	24(2)	-	633,55(II)	7(2)	I4(4)
244,06(II)	6,0(6)	6,2(I5)	643,89(6)	I4(I)	I8(3)
252,98(09)	5,0(6)	7,I(I5)	682,06(2I)	4,3(9)	-
285,37(I7) <sup>a)</sup>	I,5(5)	-	7I7,55(2I)	3,9(8)	-
302,86(4)	20(I)	28(4)	748,79(IO)	8,0(9)	-
3I3,46(I6)	2I(2)	24(3)	870,98(24)	5(I)	23(4)
3I7,43(4)	IO(I)	II(3)	952,39(27)	4,0(9)	-
334,26(I9)	2,5(5)	-	98I,24(I9)	IO(I)	-
338,38(29)	I,6(5)	-	II30,I7(I2) <sup>a)</sup>	IO(2)	-
357,5I(36)	4,0(6)	-	I374,I8(20)	7(4)	-
37I,96(4)	40(2)	62(IO)	I397,28(I9)	8(3)	-
380,46(22)	4,0(8)	-	I404,39(30)	5(I)	-
382,I2(I4)	7,0(9)	-	I460,00(I9) <sup>a)</sup>	6(I)	-
39I,I7(7)	II(I)	20(3)	I526,02(I4)	I2(I)	-
396,70(4)	4I(2)	63(7)			
400,43(7)	I3(I)	I6(2)			
44I,25(8)	6,0(7)	-			

Примечание. <sup>a)</sup>  $\gamma$ -переходы, интенсивность  $\gamma$ -лучей которых спадала с  $T_{1/2} = 10$  мин.

Таблица 2

Относительные интенсивности ЗВК переходов, сопровождающих распад  $^{183}\text{Lu}$

$E_\gamma$ , кэВ	$I_e$ , отн.ед.	Мультипольность
19,9	$E_e$	75
53,9I	$L_I$	245
	$L_{II}$	
	$L_{III}$	
	$\Sigma M$	9
	$\Sigma M$	70
58,18	$\Sigma M$	IO4
	$\Sigma M$	37
79,27	K	26
93,42	K	28
94,28	K	50
96,63	K	IO
98,19	K	I6
II8,79	K	9
I50,74	K	27
I52,89	K	5
I63,I4	K	I4
I67,23	K	7

Примечание. Погрешности в определении относительных интенсивностей ЗВК составляют 20% для сильных ( $I_e \geq 10$ ) и достигают ~50% для слабых ( $I_e \leq 10$ ) по интенсивности электронов.

как примесь /<0,5%/. На рис. 1 и 2 показаны спектры  $\gamma$ -лучей, а в табл. 1 приведены результаты их анализа.

Спектры ЗВК исследовались при помощи безжелезного бета-спектрометра с тороидальным магнитным полем  $^{10}$ . На рис. 3 приведен участок одного из измеренных спектров низкоэнергетических электронов. Результаты анализа спектров ЗВК приведены в табл. 2. В этой же таблице приведены выводы о мультипольности  $\gamma$ -переходов  $^{183}\text{Lu}$ , полученные на основе сравнения экспери-



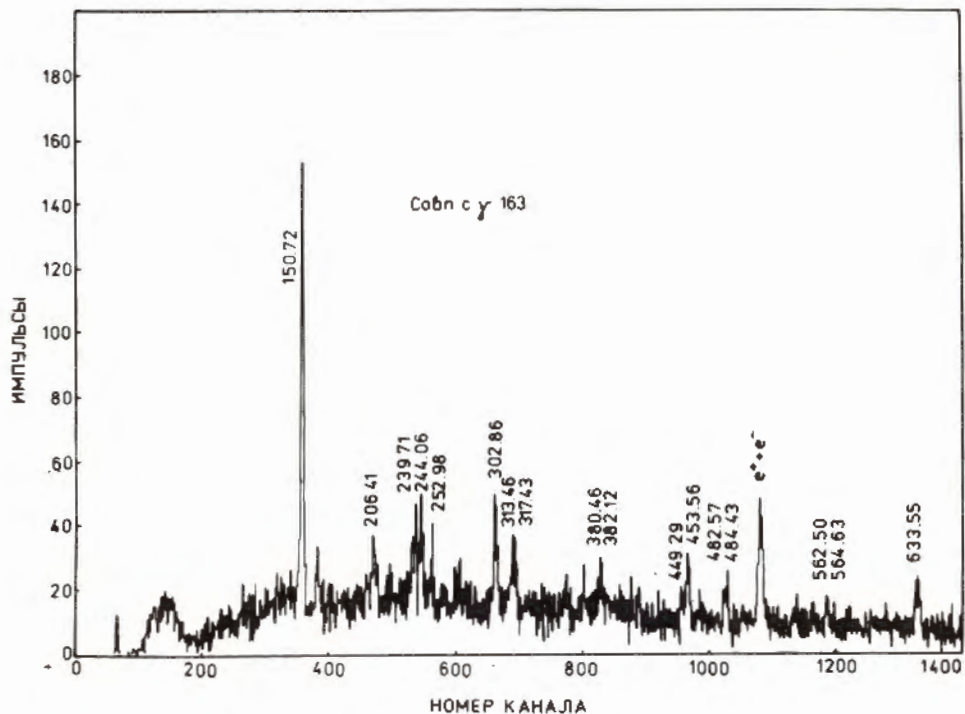


Рис. 5. Спектр ( $\gamma$ - $^{163}\text{Lu}$ ) -совпадений.

Уровни с энергиями 58,2 и 221,2 кэВ введены на основе наблюдения совпадений  $L_{53,9}-\gamma_{163,1}$  /ослабл./ и  $L_{53,9}-\gamma_{167,2}$  и существования  $\gamma$ -перехода 221,2 кэВ. Анализ этих совпадений указывает на то, что должен существовать  $\gamma$ -переход с энергией 4,3 кэВ с интенсивностью  $I_{\text{полн.}} = 75/20$  /относительных единиц.

Уровень с энергией 372,0 кэВ. Результаты наблюдения совпадений ( $L_{53,9}-\gamma_{150}$ ,  $\gamma_{313}$  /ослаблены за счет ветвления/); ( $L_{58,2}-\gamma_{150,7}$ ) и ( $\gamma_{163,1}-\gamma_{150,7}$ ), а также наблюдения  $\gamma$ -перехода 372,0 кэВ указывают на то, что существует этот уровень.

Уровень с энергией 436,0 кэВ введен на основе наблюдения ( $L_{53,9}-\gamma_{382,1}$ ) -совпадений. Вследствие анализа спектров ( $K_{93,4}-\gamma$ ) -совпадений и ( $\gamma_{244,1}-\gamma_{163,1}$ ,  $\gamma_{167,2}$ ) -совпадений введен уровень с энергией 465,2 кэВ, а уровень 474,2 кэВ - на основе совпадений ( $\gamma_{102,3}-\gamma_{150,7}$ ,  $\gamma_{163,1}$ ,  $\gamma_{372,0}$  кэВ), а также ( $\gamma_{253,0}-\gamma_{163,1}$  кэВ).

Уровень с энергией 499,3 кэВ введен вследствие наблюдения прямого перехода 499,3 кэВ и подкрепления его ослабленными

Таблица 3

Результаты анализа спектров  $e\gamma$ -совпадений при распаде  $^{163}\text{Lu}$

Э перех. ( $E_{\text{ур.}}$ ) кэВ	$E_{\gamma}$ совп. кэВ	$a_{\text{эксп.}}^{\text{сх.}}$ $\times 100(\Delta a)$	$I_{e\gamma}(\Delta I_{e\gamma})$ эксп.	$I_{e\gamma}(\Delta I_{e\gamma})$ речсч.
1	2	3	4	5
53,9	150,7	46(4)	16,1(15)	19(2)
(53,9)	152,9	25(8)	1,5(5)	2,6(6)
	163,1	39(2)	*	-
	167,2	102(9)	19(3)	19(2)
	244,0	38(6)	2,3(4)	3,2(3)
	253,0	35(6)	1,8(4)	2,7(4)
	302,9	48(6)	9,6(12)	12(2)
	313,5	41(5)	8,6(11)	8,4(8)
	317,4	64(11)	6,4(10)	5,4(6)
	357,5	+	+	-
	382,1	115(25)	8(2)	7,0(9)
	391,2	73(15)	8(2)	-
	396,7	+	+	-
	400,4	57(11)	7,4(14)	-
	441,3	$\leq 64$	$\leq 3,8$	2,4(3)
	453,6	+	+	-
	456,9	$\leq 27$	$\leq 1,6$	-
	461,1	42,8	3,4(6)	-
	484,4	89(15)	15(3)	17(2)
	525,0	+	+	-
	564,6	+	+	-
	567,0	+	+	-
	633,6	+	+	-
58,2	150,7	+	+	-
(58,2)	163,1	+	+	-
93,4	150,7	100(13)	35(5)	35(3)
(465,25)	152,9	$\leq 125$	$\leq 7,5$	6(1)
	163,1	50(4)	50(8)	54(6)
	167,2	52(15)	10(3)	10(2)
	313,5	+	+	-
	372,0	+	+	-

Таблица 3 /продолжение/

1	2	3	4	5
94,3 (712,6)	118,8 150,7 152,9 206,4 244,1 317,4 564,6	+ 16(2) 100(17) 23(6) 40(9) 29(7) 92(31)	+ 5,6(5) 6,0(15) 1,4(4) 2,4(6) 2,9(8) 4,7(17)	- - 6(1) - - - 5,0(7)

Примечание. Знаком "+" обозначены наблюдаемые совпадения, количественная оценка которых не проведена из-за малой статистики.

\* По значениям  $\alpha_{\text{экс.}} = \frac{S_{\text{ex}}}{S_{\text{y}}}$  определены полная относительная интенсивность  $\gamma$ -перехода с энергией 4,3 кэВ,  $I_{\text{полн.}} = 75/20$  /отн.ед.

совпадениями L53,9 с  $\gamma$ 441,2 кэВ. Совпадения (L53,9 -  $\gamma$ 484,4,  $\gamma$ 317,4 /осл./), ( $\gamma$ 163,1 -  $\gamma$ 317,4) и прямой переход позволяют ввести уровень с энергией 538, 5 кэВ.

Уровень 578,7 кэВ вводится нами на основе наблюдения совпадений (L53,9 -  $\gamma$ 525,0), ( $\gamma$ 206,4 -  $\gamma$ 150,7,  $\gamma$ 163,1,  $\gamma$ 372,0). Результаты наблюдения совпадений (K93,4 -  $\gamma$ 152,9) и (L53,9 -  $\gamma$ 564,7) позволяют ввести уровень 618,5 кэВ, а ( $\gamma$ 163,1 -  $\gamma$ 302,9 /осл./,  $\gamma$ 453,6) и ( $\gamma$ 150,7 -  $\gamma$ 302,9) - уровень 674,8 кэВ.

Уровни с энергией 712,8; 768,7; 854,7 и 938,9 кэВ введены в схеме распада на основе баланса энергий /на рис.7 переходы отмечены пунктиром/ и наблюдения совпадений с  $\gamma$ -лучами только одного перехода. Таким образом, при распаде  $^{163}\text{Lu}$  нами наблюдалось, кроме введенного в работе /2/ уровня с энергией 53,9 кэВ,  $5/2^- 5/2^- /523/$ , еще 15 возбужденных состояний  $^{163}\text{Yb}$ . Экстрем и др. /16/ измерили спин основного состояния  $^{165}\text{Lu}$  и согласно /17/ предложили его квантовые характеристики  $1/2^+ /411/$ . Авторы /17/ показали, что орбитали  $7/2^+ /404/$ ,  $1/2^+ /411/$  и  $5/2^+ /402/$  являются нижайшими протонными состояниями в ядре  $^{165}\text{Lu}$ . Следует ожидать, что для  $^{163}\text{Lu}$  нижайшими состояниями должны быть те же орбитали, хотя трудно предсказать, какое из ожидаемых состояний должно быть основным для  $^{163}\text{Lu}$ . Однако тот факт, что нам не удалось при бета-распаде  $^{163}\text{Lu}$  обнаружить состояния  $7/2^- /523/$  и  $5/2^- /521/$   $^{163}\text{Yb}$ , наблюдаемые в ядерных реакциях, говорит в пользу квантовых характеристик  $1/2^+ /411/$  основного состояния  $^{163}\text{Lu}$ . Анализ полученных значений  $\alpha_{\text{X}}$  и выводы о мультипольностях  $\gamma$ -переходов позволяют лишь сде-

Таблица 4

Результаты анализа спектров  $\gamma\gamma$ -совпадений при распаде  $^{163}\text{Lu}$

$E_{\gamma 1}$ ( $E_{\text{ур.}}$ ) кэВ	$E_{\gamma 2}$ кэВ	$I_{\gamma\gamma}(\Delta I_{\gamma\gamma})$ эксп.	$I_{\gamma\gamma}(\Delta I_{\gamma\gamma})$ расч.
163,1 (221,2)	102,3 150,7 206,4 244,1 253,0 302,9 313,5 317,4 453,6 562,5 633,6	4,4(12) 35(3) 4,2(12) 7,2(18) 4,0(16) 13,1(23) 5,7(22) 5,5(25) 11,6(32) 5,6(3) 13,8(42)	5,9(17) 35(3) 3,2(6) 6,0(6) 5,0(6) 10,8(6) 11(1) 10(1) 10,0(8) - 7(2)
167,2 (221,2)	150,7 244,1 302,9	7,2(19) 3,4(14) 4,9(16)	6,7(6) 1,2(11) 3,8(2)
221,2 (221,2)	150,7 302,9	11,2(18) 5,2(18)	7,7(4) 4,4(3)
150,7 (372,0)	102,3 163,1 167,2 206,4 221,2 302,9	1,8(9) 28,1(27) 7,7(16) 3,0(10) 9,3(14) 6,7(18)	3,9(11) 35(3) 6,7(7) 2,1(4) 7,7(8) 7,0(4)
313,5 (372,0)	102,3 206,4 302,9 396,7	6,8(32) 9,8(29) 34,4(56) 14,9(4)	4,2(3) 2,4(4) 8,0(4) 16,4(8)

лать заключение об отрицательной четности состояний  $^{163}\text{Yb}$  с энергиями 58,1; 221,2; 371,3; 465,2 и 618,5 кэВ.

В спектре ЭВК /рис.3/ наблюдаются электроны с  $E_e = 9,4$  кэВ, приписанные нами к  $^{163}\text{Lu}$ . Эти электроны можно идентифицировать как  $L_{1,19,9}(M1)$  или  $K_{70,7}(M2)$ . Значение энергии и мультипольность  $\gamma$ -перехода 19,9 кэВ позволяют сделать предположение о возможном возбуждении при бета-распаде  $^{163}\text{Lu}$

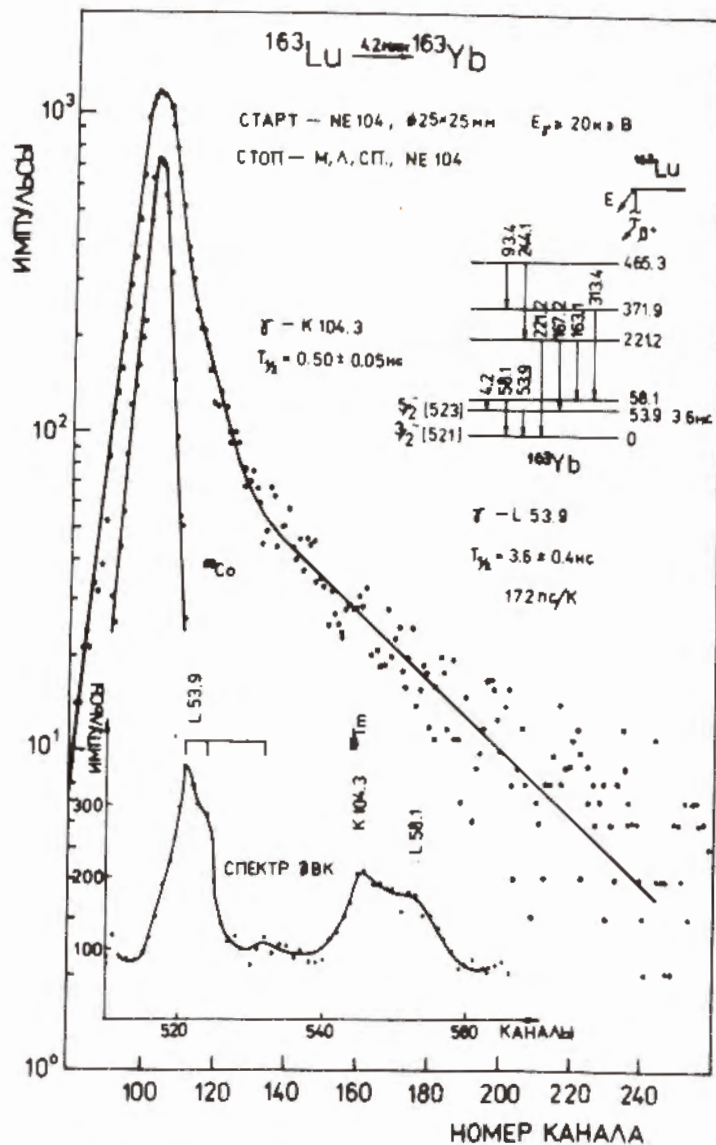


Рис. 6. Временные распределения ( $\gamma$  — L53,9) — совпадений. Внизу — участок спектра ЭВК изобары  $A=163$ , вверху справа — фрагмент схемы распада  $^{163}\text{Lu}$ .

Рис. 7. Схема распада  $^{163}\text{Lu} \rightarrow ^{163}\text{Yb}$ .

состояния с энергией 78,2 кэВ  $5/2^-3/2^-/521/$  в  $^{163}\text{Yb}$ , наблюдаемого в ядерных реакциях [3]. На основе анализа спектров  $\gamma$ -лучей и ЭВК, измеренных нами, можно дать только верхний предел интенсивности  $\gamma$ -перехода с энергией 78,2 кэВ —  $I_\gamma \leq 2$  отн.ед. и  $I_K \leq 2$  отн.ед.

С другой стороны, при исследовании совпадений  $\gamma$ -лучей с электронами ( $E_\beta = 9,4$  кэВ/мм) не наблюдали заметных по интенсивности  $\gamma$ -лучей с  $E_\gamma > 100$  кэВ в спектре совпадений. Это можно, по-видимому, объяснить тем, что существует изомерный уровень с  $T_{1/2} \geq 0,5 \cdot 10^{-6}$  с, разрешаемый переходом 70,7 кэВ ( $M2$ ). Данное состояние, вероятно, является головным уровнем  $9/2^+$  аномальной полосы положительной четности, образованной сильным кориолисовым смешиванием подоболочки  $113/2$ , аналогично состояниям, наблюдаемым в соседних нечетно-нейтронных ядрах.

В заключение авторы приносят искреннюю благодарность проф. К.Я.Громову за дискуссию и ценные замечания при написании статьи.

#### ЛИТЕРАТУРА

1. Алхазов Г.Д. и др. ОИЯИ, Е6-12505, Дубна, 1979.
2. Gromov K.Ya. et al. Nucl.Phys., 1975, A254, p.63.
3. Richter L. et al. Phys.Lett., 1977, 71B, p.74.
4. Latuszynski A. et al. JINR, E6-7780, Dubna, 1974.

5. Музиоль Г., Райко В.И., Тыррофф Х. ОИЯИ, Р6-4487, Дубна, 1969.
6. Beyer S. et al. Nucl.Instr. and Meth., 1971, 96, p.437.
7. Beyer G.-J., Novgorodov A.F., Khaikin V.A. Radiokhimiya, 1978, XX, p.589.
8. Андерт К. и др. ОИЯИ, Р6-8564, Дубна, 1974.
9. Strusny H. et al. Jahresbericht ZfK-Rossendorf, ZfK-283, 1974, p.37.
10. Гасиор М. и др. ОИЯИ, Р6-7094, Дубна, 1973.
11. Hager R.S., Seltzer E.C. Nucl.Data, 1968, A4, p.1.
12. Кузнецов В.В. и др. ОИЯИ, Р13-12810, Дубна, 1979.
13. Тонусек М. и др. ОИЯИ, Р13-12422, Дубна, 1979.
14. Аликов Б.А. и др. ОИЯИ, Р13-10911, Дубна, 1977.
15. Andreitsceff W. et al. Nucl.Phys., 1974, A220, p.438.
16. Ekstrom C. et al. Phys.Scr., 1974, 10, p.301.
17. Ekstrom C. Phys.Scr., 1976, 13, p.217.

Рукопись поступила в издательский отдел  
13 мая 1980 года.